

写真撮影による流量測定について、並びに北海道の河水流量分布図について

日本気象協会 北海道本部 佐法 宏

写真撮影による流量測定についての調査は、道河川課の依頼調査で、北海道大学工学部 岸教授の指導の下に実施したものである。この調査の目的は、現在実施されている流量測定の方法は、高水時には危険性が大きいので、より安全に、より容易に高水時の流量測定を実施しようとすることである。この方法の一として写真撮影により表面流速を測定し、これによる流量値と現行の方法による流量測定の流量値とを比較、検討した。

1. 測定の方法

35mmカメラ、モータードライブ撮影装置にタイマーを接続し、このタイマー装置により指定時刻に、所定の時間隔で撮影することができ、時間が隔て变化させることができます。

表面浮子は、風の影響を受けないこと、被写体として識別が容易なこと、長時間、水中にあっても変化しない材質、形状であること、などが条件となる。いくつかの浮子を試験して結果、次の2種を実験用いることにした。

- ① 厚さ3mm、5cm×5cmのベニヤ板に赤ペイントで採色したもの。
- ② 市販名「カラーボール」、ビニール製の直径7cm、自重20gのボールに水を約150g注入し、直径の三分の一まで水中に沈むようにした。色は赤、黄、緑の3種である。

測流は

昭和45年は札幌市郊外の新川の天狗橋と、円山川

昭和46年は円山川。

昭和47年は苦小牧川、樺森川、札幌市内の創成川

で実施し、新川と樺森川では橋上にカメラを設置し、河水面に対する俯角を定めた。他の川は河面上にヤグラを設置し、このヤグラ上にカメラを真下に向けて設置した。

実験区間の河水面には、10m~20mの区间に1/4mは2m間隔の座標格子を設定し、表面浮子は川幅内に10cm~15cmの間隔で板の上に並べ育て投入し、約10秒内外の助走時間で実験区間の上流域が流達するようにした。このようにして1秒ごとに撮影したフィルムが、表面浮子の変位を読みとり、X、Y成分を合成して平均流速を求めた。

2. 測定の結果

測定の結果について 円山川の測定資料を参考までに表-1および表-2に掲載した。表-2に示したとおり、 \bar{u}_m/\bar{u}_s は平均値で0.77となり、昭和45年に測定した値は0.76と0.73であった。

次に、表面流速と流量の関係を図示すると、図-1のようになる。円山川の測定地帯の河川断面は、水位が変化しても川幅がほぼ一定で、流量が小さい場合の流れは2次元流に近く、流量が大きくなるにつれて3次元的になる。つまり、流量があるといいほど大きくなると、流速が最

表-1 円山川の実験時の水理量の表

試験番号	昭和年月日	流速 (cm/sec)	段落頂水深*	勾配	横幅 (cm)	粗度係数 n
1	46. 8. 11	36.2	4.62	0.0115	5.9	0.038
2	46. 11. 10	53.8	5.03	0.0105	6.6	0.039
3	47. 3. 28	93.2	8.09	0.0135	14.3	0.075
4	"	97.7	8.19	0.0118	11.9	0.050
5	47. 3. 30	172.5	11.78	0.0133	15.1	0.048
6	"	199.8	12.42	0.0105	15.0	0.037
7	47. 4. 6	312.9	14.03	0.0135	18.7	0.041
8	47. 4. 7	262.5	12.90	0.0135	15.2	0.033
9	"	286.6	14.62	0.0140	16.1	0.034
10	47. 4. 8	201.9	11.91	0.0158	15.5	0.048
11	"	222.5	12.03	0.0150	14.4	0.036
12	47. 4. 10	225.2	11.92	0.0153	14.3	0.036
13	"	269.5	13.43	0.0150	14.3	0.030

* 下流段落頂部(ピトー管による流速・流量測定点)における平均水深

大にする時は、次第に表面から下方に移り、流量が増しても表面流速はそれほど増加しないことになる。図中のとびはなれた値の $N_{0.4}$, $N_{0.5}$ を除くと、流量 Q と表面流速 \bar{u}_s の間に、図中の曲線のようす関係が認められる。

この曲線を最確値と考へて、各々の流量に対する表面流速を求め、これから平均流速との比を算出して流量の関係を図示すると図-2のようになる。

この図からは、平均流速と表面流速との比、 \bar{u}_m/\bar{u}_s (表面浮子の補正係数) は流量によって変化する傾向がみられ、今回の円山川の測定では 0.7 ～ 0.9 であることが判った。

参考までに、浮子の補正係数の諸公式による値は次のとおりである。

フランクス公式	0.896
砂防技術基準	0.85
宮本式轉	0.806
円山川(昭和46.47年)	0.77
(昭和45年)	0.76, 0.73

図-1のとびはなれた測定値、 $N_{0.4}$, $N_{0.5}$ については、円山川のようす小さな渦流では、平均流とは異なった流速をもつ木塊が滴落的に流下するために生ずるものと考えられるので、平均化時間とか測定回数などに配慮が必要である。

他の測定河川の \bar{u}_m/\bar{u}_s (補正係数) の平均値をしめすと

苔小牧川	0.833
堀川	0.941
創成川	0.763 (ベニヤ板)
	0.756 (カラーボール)

である。この結果によると堀川の補正係数は平均で 0.94 で、何れの測定結果よりも、前記の諸公式の値よりも大きな値となっている。原因是明らかでないが、堀川の測定地帯 (御津作場橋) では、他の河川に比較して流速の垂直分布が一様分布に近いためと考えられる。

平均流速と写真測定による表面流速との比 (\bar{u}_m/\bar{u}_s) を、川幅と水深比 (B/A) に対して図示すると、図-3を得る。図-3によると実測のばらつきが大きく、明瞭な相関関係は認められないが、およその傾向としては B/A が大きいほど \bar{u}_m/\bar{u}_s は大きいようである。

表-2 実測値一覧表

測定番号	流量 Q (/sec)	断面積 A (cm ²)	水面巾 B (cm)	平均流速 $\bar{u}_m = Q/A$ (/sec)	表面流速 \bar{u}_s (/sec)	表面流速 \bar{u}_m/\bar{u}_s	水面巾/水深 B/A
A-1-A	36.2	838	135.0	0.432	0.688	0.63	21.8
" B	"	"	"	"	0.609	0.65	"
" C	"	"	"	"	0.642	0.67	"
A-2	53.8	960	133.5	0.560	0.583	0.96	18.6
A-4	97.7	1,846	134.5	0.529	0.995	0.53	9.8
A-5	172.5	2,558	140.0	0.674	1.166	0.58	7.7
A-6	199.8	2,556	141.0	0.782	1.108	0.71	7.8
A-7	312.9	3,385	145.0	0.924	1.182	0.78	6.2
A-8	262.5	2,614	143.0	1.004	1.106	0.91	7.8
A-9	286.6	2,794	143.3	1.026	1.195	0.86	7.3
A-10	201.9	2,548	138.0	0.780	1.072	0.73	7.4
A-11	222.5	2,419	136.5	0.920	1.060	0.87	7.7
A-12	225.2	2,371	137.2	0.950	1.034	0.92	7.9
A-13	269.5	2,404	138.0	1.124	1.144	1.00	7.9

図-1 $\bar{u}_s - Q$

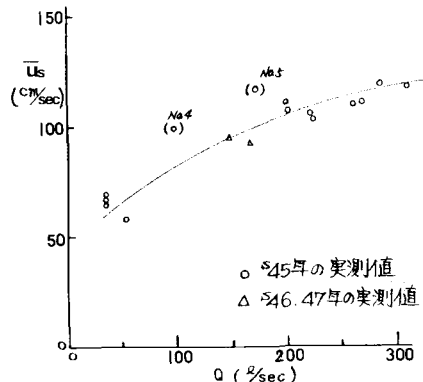
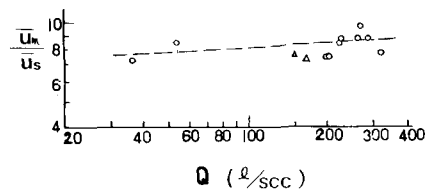


図-2 $\bar{u}_m/\bar{u}_s - Q$



横方向の分散と拡散係数については、
一樣乱流域において一発より投下された粒子群の拡散状態を調べる場合に Einstein の表示を用いると、

$$D_H = \frac{1}{2} \frac{d}{dt} \langle \bar{y}^2 \rangle - \frac{1}{2} \frac{d}{dt} \langle \bar{y}^2 \rangle - D_H$$

ここで

D_H : 横方向の拡散係数

$$\bar{y}^2 = \frac{1}{t} \int_0^t \bar{y}^2 dt$$

横方向の分散の平均値
t: 時間

この値についての資料、表は省略するが、一般の直線水路と同様に拡散係数は時間と共に増大し、ある時間で最大となつて、その後は少しずつ傾向を示している。

拡散係数が最大値となる時間は、約

創成川 4秒

堀川 9秒

苦小牧川 6秒

である。この時間は標的投下後、写真撮影までに必要とする助走距離を定める目安となる。

3. 結論

この調査の一連の測定結果によると、測定精度において実用に耐えるといふのであり、流速測定の補助手段として活用してよい方法と考えられる。ただし、そのためには前もって該当河川について測定実験を行い、補正係数などの値を求めておく必要がある。

今回の測定では、創成川と苦小牧川では10秒間、堀川では20秒間の写真測定を行なつたが、岸による平均流速の観測時間Tとそれに伴う誤差Pとの関係は表-3

に示した。これによると今回の測定の誤差は次のように 表-3、観測時間と誤差

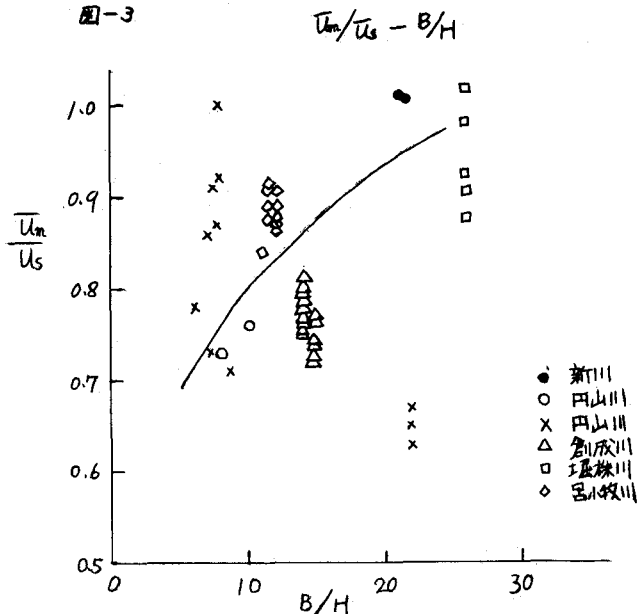
推定される。

創成川と苦小牧川 は3%程度

堀川 は5%程度

なお、これらの測定結果の調査、解析は北海道大学工学部の河川実験室によって行はれ、この報告の内訳も岸教授の報告書に基づいている。

図-3



[北海道の渴水量分布]についての調査は、北海道開発局ならびに石狩開発建設部の実地調査である。この調査の目的は、

北海道の年間を通じての、10年非超過の渴水比流量のContour map

北海道のかんがい期（5月～8月）の5日平均最小流量の10年非超過のContour map

を作成することである。この調査を進めるに当たっての考え方は、1位水流の多寡を支配するのは地下水流出であり、地下水量の多寡が支配されるのは地質がもっとも大きい因子であろうという考え方である。

1. 地下水量の多寡に関連する地質分類図

図-1は地質学上から地下水包蔵量の多寡に関する地質分類を図示したものである。この図は地下水量について、

豊富な地質

多い地質

や、多い地質

少ない地質

の4種類に分類してみた

図である。一般的にいって成層火山の周辺がすぐれた地下水包蔵体を構成しており、湖沼などの湛水部も地下水包蔵量に大きな影響を与えているように考えられる。この図からいえることは地質学上から地下水包蔵量が多いと推定される地域は、渡島半島南部の駒ヶ岳周辺、茂津多岬周辺地域、支笏湖周辺地域を中心として胆振、後志地方にのびる

広大な地域、暑寒別岳周辺地域、大雪山周辺地域、および道東部がけんちょである。これに対して地下水量が少ない地域は、日高地方から石狩、空知方面と比較的北方にのびる地域と、十勝地方から北にのびる地域である。

2. 平均自然減水係数分布図

1863年にMariotteが地下に比較的安定した流源(Spring)があるという問題を提起して以来、河川に対する地下水の影響の問題は多くの水理学者によって調査されている。

Roseelは種々の観測、実験の結果、雨水に対する敏感度の小さい事は地下水量が大きい事を結論づけている。渴水量とか、かんがい期の最小流量のようて极端に河川水量が少なくて3時の様相は地下水量の多寡によつてその様相は支配されるものと考えられる。このことから厳寒季の減水の様相を調査することにより、その河川の存在する流域の地下水量の多寡を推定する有力な資料となるはずである。つまり減水係数が小さいと地下水流量が多く、減水係数が大きいと地下水流出量が少ないと判定してよい。

冬季向のように降雨がなく、したがって表面流出、中間流出がなく、期間の減水傾向が指数曲線で近似的に表現できることは良く知られており、1つの基本型としてHortonの式がある。

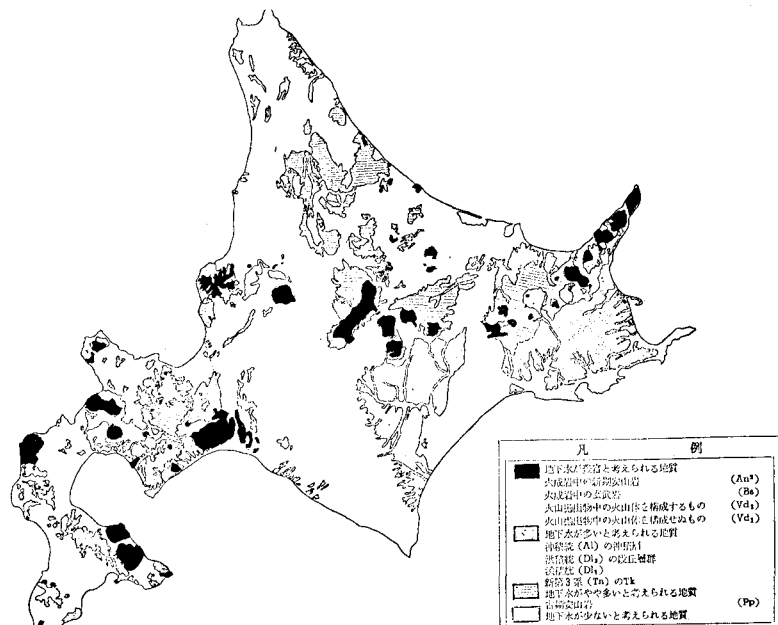


図-1 地下水の多寡に関連する地質分類図

$$Q = Q_0 e^{-\alpha t} \quad \text{①}$$

①式中の減水係数 α を各年ごとに、1月1日から2月28日までの59日前について求め、それらの平均値を求めて作成したのが次に示す図-2である。

この図-2を図-1と対照すると、意外なほど傾向は良く一致している。

この減水係数は、もちろん年によって同一地盤でも変動をする。この原因としては、冬季間にまれに起る降雨とか、気温・地温による小量の融雪などの影響と考えられる。

3. 年内自然減水係数の変動

次に示す図-3は、各地盤の各年の減水係数の年変動の状況を調査するため標準偏差を求め、その分布図をしたものである。

この図-3を前掲の図-1あるいは図-2と対比してみると、地質学上で地下水水量が多いと推定され、減水係数の小さな地域は年による減水係数の標準偏差は小さく、地下水水量が少ないと推定され、減水係数の大きい地域は標準偏差が大きくなる。この事は、地層中に豊富な地下水を有する河川は毎冬季、比較的水位が一定して地下水流出状況をすることを意味し、地下水水量の少ない地層に存在する河川はその年にによる気象などの因子によって流出状況が大きく変わると考えられる。

この事は、地層中に豊富な地下水を有する河川は毎冬季、比較的水位が一定して地下水流出状況をすることを意味し、地下水水量の少ない地層に存在する河川はその年にによる気象などの因子によって流出状況が大きく変わると考えられる。

4. 初期貯留量の推定

次に、さらに前記1～3の総論を踏まえるために、地下水包蔵量の多寡を推定する方法として、初期貯留量を示数的に求め、この示数の分布図と前掲の図-1～図-3とを対比してみる。

初期貯留量示数として Q_{IS} を次の式により求めた。

$$Q_{IS} = Q_0 \cdot \frac{\alpha}{A} \quad \text{②}$$



図-2 平均自然減水係数分布図
(1月1日～2月28日)



図-3 減水係数の標準偏差分布図 (10^{-4})

：：で

Q_{1s}：1月1日における初期貯留量示数

Q_s：1月1日における流量(片対数紙
上で直線化した値)

1/s：平均減水係数の逆数

A：流域面積(100km²を1とする)

②式により、各河川の毎年ごとのQ_{1s}を求め、それらを平均した値を用いて作成した図が図-4である。

この図を前掲の図-1～図-3と対比しても、むしろ傾向はよく似ている。

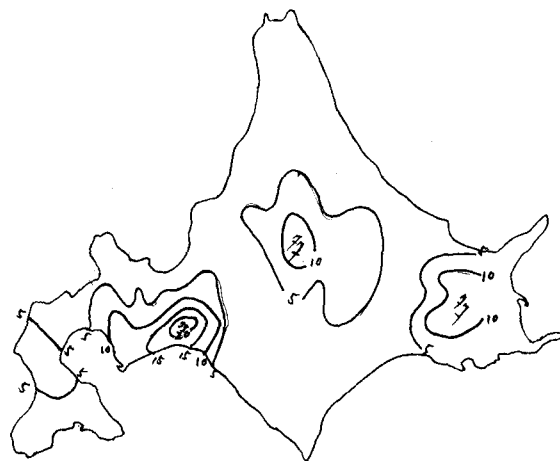


図-4 Q_{1s} の分布図

5. 10年非超過の湯木比流量分布図「かんがく期」最小比流量図の作成

流量資料により10年非超過の期間を通じての湯木比流量(この場合、湯木量とは、日平均流量について毎年ごとに大きい値から数えて3.55位の値である。)と10年非超過の「かんがく期」の最小比流量(この場合の最小流量とは5月1日～8月31日までの間の5日間平均の最小値である。ただし、8月29日から8月31日までは3日間平均値をとる)求めオノ次原図を作成した。この図は省略するが、流域変更などの影響で値の緩和(い)ものを除外しても、観測地点が少く等高線の描画に客觀性が少くなるおそれがある。とくに北海道東部は流量観測点が少なく、空白地域となってしまう。この問題を解決するためには、未観測地域の各々の確率値を何らかの合理的な方法で推定しなくてはならない。このために次の方法によった。

1) 多重相関図による確率値の推定

前項までの調査結果で、地質分類が地下水流量の予測を推定する資料と傾向的に良い関連性が認められた。しかし、北海道を一様に量的に対応が可能なスケールはないので、オノ次原図の等高線の状況などを考慮して、次にしめす図-5のように北海道を6地区に分割し、

その地区内の観測地点の資料から求めた確率値と、そのjoint function とから最適の多重相関図を作成し、その図を利用して未観測地点のjoint functionにより各々の確率値を推定することとした。

joint functionとしては次の8種を用いた。

①地質分類: 図-1により、その河川の存在する地域の地質を、地下水流量のもつとも多い地質をA、もっとも少ない地質をDとして A, B, C, D の4種に分類する。この場合2種以上の地質にわたっては流域は面積的に大きい地質を採用した。

②等高線の傾向: オノ次原図により各プロ

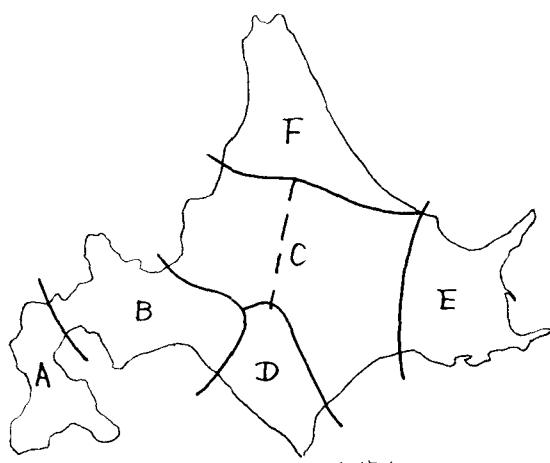


図-5 ブロック分割

ツク"と特徴ある分布をしているのでこの傾向を表現するために、そのプロック内の最大確率等値線でかこまれた地盤の中心から、流量観測地までの直線距離をkmで表わす。

③ 流域面積：流量観測地までの流域面積(km^2)

④ 標高：流量観測地までの海拔高度(m)

⑤ 平均斜度：Abbot's Intersection Methodによる流域内の平均斜度

⑥ 植生：北海道森林区分図により、流域内の林相を針葉樹林、広葉樹林、針広混生林の3種に分類し、その有無を考える。

⑦ 河川流向：その観測所の存在する河川の流向を8方位で表わす。

⑧ 渚水部の有無：その観測所の存在する河川の流域地帯、小湖、沼などの自然渚水部の有無を考へる。プロックによつては観測地帯に隣接する渚水部が全くない所があるが、そのプロックの相関図には含まねばならない。

Joint function は以上の8種を採用したが、相関調査結果、⑥の林相、⑦の流向は相関関係は認められないので除外した。

参考までに図-6にAプロック内の観測地帯について10年非超過の渚水比流量を求める相関図を示した。

図-7は、図-6を用いて観測地帯のjoint function を用いて推定した渚水比流量と実測資料による渚水比流量を対比した検定図である。(図中の○は、かんがい期用の他の図による値である)

このようにして12枚の相関図(渚水用6枚、かんがい期用6枚)を用い、未観測地域の合計31地帯についてjoint function を用いて10年非超過の値を推定し、この資料と実測資料により作成したのが次の図-8 図-9である。

図-8は10年非超過の渚水比流量分布図、図-9は10年非超過のかんがい期最小比流量分布図である。

これらの図中の○の地帯が観測地帯で、●印が相関図により推定した地帯で、主に道東部である。

図-6
Aプロックの10年非超過確率渚水流量値を推定する相関図

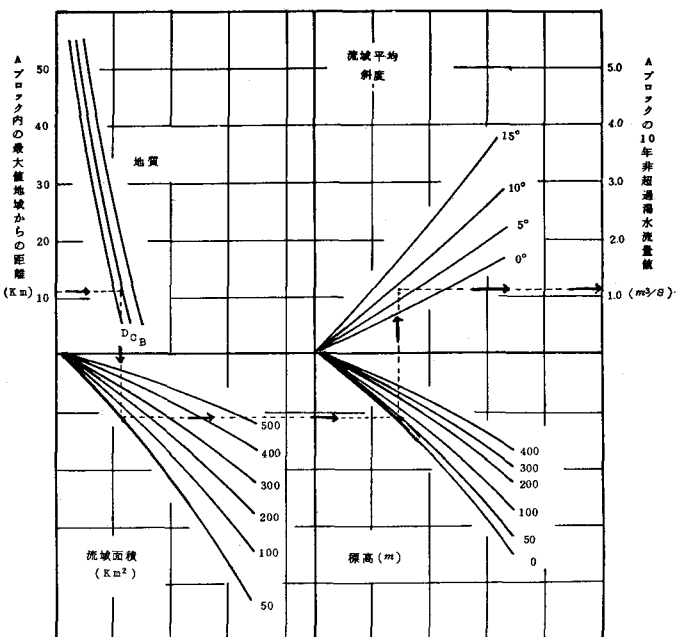
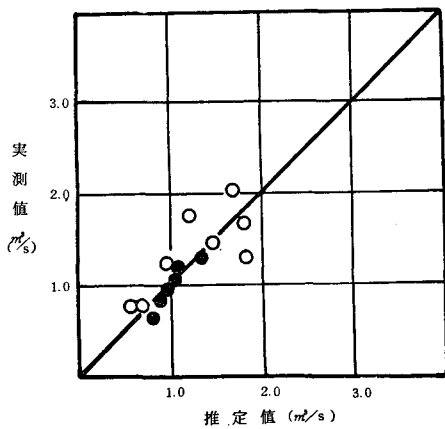


図-7
Aプロックの重相関図の検定

- 沿水量値(10年非超過)
- かんがい期最小流量値(10年非超過)



これらの図-8、9の等值線の描き方について
は問題が残されているが、北海道のこれらの値を
パターンとして見る場合には妥当な図と考えられ
る。

次に、これらの図の利用方法を例示する。

図-10について、A地点での10年非超過の済
水流量はどの位になるか？

流域面積 40 km^2

等值線の値 $1.20 \text{ m}^3/\text{s}$

$$Q_{y/10} = \frac{40}{100} \times 1.20 = 0.48 \text{ m}^3/\text{s}$$

またB地点での10年非超過の済水流量は

流域面積 150 km^2

等值線の値 $0.90 \text{ m}^3/\text{s}$

$$Q_{y/10} = \frac{150}{100} \times 0.90 = 1.35 \text{ m}^3/\text{s}$$

なお、これらの調査については北海道大学の
岸教授の指導をうけ、名古屋大学の高木助教授
地下資源調査会の山口地質部長および北海道
広域利水調査会の方々にも助言、討論をいたし
た。

